

Н. М. Калантарлы,

канд. физ.-мат. наук

Институт математики
и механики

НАН Азербайджана

Азербайджан, г. Баку,

e-mail: nailyak1975@gmail.com

Ключові слова: круговий диск, температурне поле, зона ослаблених міжчасткових зв'язків, зусилля в зв'язках, тріщиноутворення.

УДК 539.375

РАСЧЕТНАЯ МОДЕЛЬ ТРЕЩИНООБРАЗОВАНИЯ В КРУГОВОМ НАГРЕВАЕМОМ ДИСКЕ

Розроблено розрахункову модель, в рамках якої можливо описати тріщиноутворення в круговому диску під дією температурних напружень. Вважається, що температурне поле в круговому диску має осьову симетрію, а пружні характеристики та коефіцієнт лінійного температурного розширення матеріалу не залежать від температури. Отримано співвідношення для визначення критичного значення інтенсивності теплової дії, за якої в круговому диску відбудеться тріщиноутворення.

Постановка задачи

Во многих машинах и механизмах диски испытывают воздействие тепловой нагрузки. Это обстоятельство придает разработке расчетной модели трещинообразования в круговом нагреваемом диске особую важность.

Рассмотрим круглый диск, свободный при нулевой температуре от напряжений (рис. 1). Под влиянием тепловой нагрузки в процессе эксплуатации в материале диска будет возникать зона предразрушения (прослойка перенапряженного материала). Будем моделировать зону предразрушения как область ослабленных межчастичных связей материала диска. Задачу о трещинообразовании в круговом диске рассматриваем как квазистатическую в постановке плоского напряженного состояния. Считается, что температурное поле в нагреваемом диске имеет осевую симметрию. Упругие постоянные и коэффициент линейного температурного расширения материала диска от температуры не зависят.

Пусть по мере нагружения диска тепловой нагрузкой в материале возникает произвольно размещенная прямолинейная зона предразрушения. Обозначим ее длину через $2\ell_1$. В центре зоны предразрушения разместим начало локальной системы координат $x_1O_1y_1$ таким образом, чтобы ось x_1 совпадала с линией ослабленной зоны и образовывала угол α_1 с осью x ($\theta = 0$) (рис. 1).

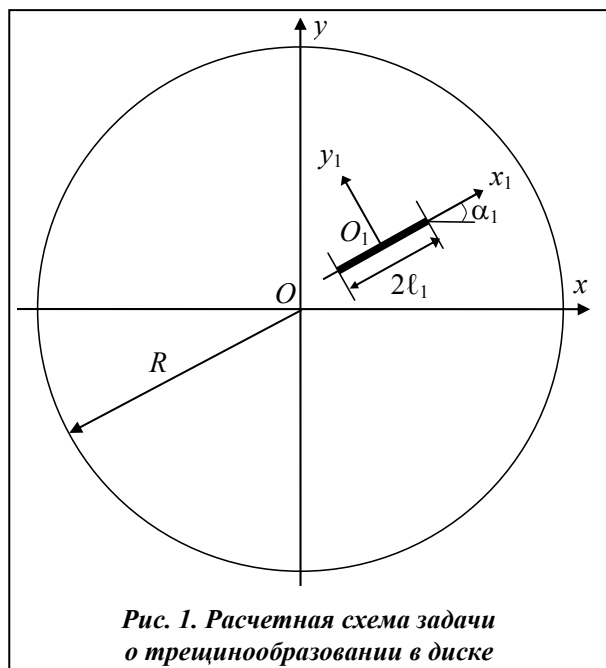


Рис. 1. Расчетная схема задачи о трещинообразовании в диске

Взаимодействие берегов зоны предразрушения будем представлять как связи между берегами ослабленной зоны с заданной диаграммой деформирования. Считается, что закон деформирования межчастичных связей материала круглого диска задан. В общем случае этот закон нелинейный [1–3]. Размеры области предразрушения, как и физическая природа связей между берегами ослабленной зоны, зависят от вида материала нагреваемого диска.

Задачу о напряженно-деформированном состоянии кругового диска, в котором имеется прослойка перенапряженного материала, можно [4] свести к задаче о напряженно-деформированном состоянии в идеально упругом теле, которое ослаблено разрезом с взаимодействующими между собой по некоторому закону поверхностями. Тогда прежде всего следует выяснить зависимость сил сцепления от перемещений (раскрытия берегов зоны предразрушения) в той части диска, где имеют место силы межчастичного взаимодействия (притяжения) между

берегами. Далее требуется оценить напряженное состояние вблизи ослабленной зоны с учетом внешней нагрузки и сил сцепления и определить зависимости критических нагрузок, при которых в материале диска появится трещина. В общем случае решение такой задачи наталкивается на большие математические трудности.

Моделировать зону предразрушения возможно явным приложением к поверхностям зоны сил сцепления, сдерживающих ее раскрытие. В рассматриваемом случае трещинообразование в круговом диске представляет собой процесс перехода зоны предразрушения в зону разорванных связей между поверхностями материала.

При радиальном распределении температуры $T = T(r)$ нетрудно найти частное решение уравнений равновесия и совместности деформаций в виде

$$\begin{aligned}\sigma_r^0 &= -2\mu \frac{3\lambda + 2\mu}{\lambda + 2\mu} \frac{\alpha}{r^2} \int_0^r T(\rho) \rho d\rho, & \tau_{r\theta}^0 &= 0, \\ \sigma_\theta^0 &= 2\mu \frac{3\lambda + 2\mu}{\lambda + 2\mu} \alpha \left[\frac{1}{r^2} \int_0^r T(\rho) \rho d\rho - T(r) \right],\end{aligned}\quad (1)$$

где α – коэффициент линейного температурного расширения материала; λ и μ – постоянные Ламе материала диска.

При воздействии температурных напряжений в круговом диске в связях, соединяющих берега зон предразрушения, будут возникать нормальное $q_{y_1}(x_1)$ и касательное $q_{x_1y_1}(x_1)$ усилия. Величины этих напряжений $q_{y_1}(x_1)$ и $q_{x_1y_1}(x_1)$ и размер ℓ_1 зоны предразрушения заранее неизвестны и подлежат определению.

Основные соотношения поставленной задачи должны быть дополнены уравнением, связывающим раскрытие берегов зоны предразрушения и усилия в связях. Это уравнение, без потери общности, можно представить в виде

$$\left(v_1^+(x_1, 0) - v_1^-(x_1, 0) \right) - i \left(u_1^+(x_1, 0) - u_1^-(x_1, 0) \right) = \Pi(x_1, \sigma_1) \left(q_{y_1}(x_1) - i q_{x_1y_1}(x_1) \right), \quad (2)$$

где функция $\Pi(x_1, \sigma_1)$ представляет собой эффективную податливость связей, зависящую от натяжения связей; $\sigma_1 = \sqrt{q_{y_1}^2 + q_{x_1y_1}^2}$ – модуль вектора усилий в связях; $(v_1^+ - v_1^-)$ – нормальная и $(u_1^+ - u_1^-)$ – касательная составляющие раскрытия берегов зоны предразрушения. При постоянном значении функции Π имеем в соотношении (2) линейный закон деформирования.

Для определения значения интенсивности тепловой нагрузки, при которой происходит зарождение трещины в диске, нужно постановку задачи дополнить критерием (условием) появления трещины (разрыва межчастичных связей материала). Используем критерий критического раскрытия берегов зоны предразрушения

$$\left| \left(v_1^+ - v_1^- \right) - i \left(u_1^+ - u_1^- \right) \right| = \delta_c, \quad (3)$$

где δ_c – характеристика сопротивления материала диска трещинообразованию, определяется опытным путем [1].

Это дополнительное условие позволяет установить параметры нагреваемого кругового диска, при которых происходит трещинообразование в диске.

Считается, что зона предразрушения ориентирована в направлении максимальных растягивающих напряжений, возникающих в круговом диске. Берега зоны предразрушения взаимодействуют между собой так, что это взаимодействие (связи между берегами) сдерживает зарождение трещины. Под действием тепловой нагрузки на диск в связях, соединяющих берега зоны предразрушения, будут возникать нормальные $q_{y_1}(x_1)$ и касательные $q_{x_1y_1}(x_1)$ усилия, смыкающие берега зоны предразрушения. Таким образом, к берегам зоны предразрушения будут приложены сжимающие нормальные и касательные напряжения, численно равные $q_{y_1}(x_1)$ и $q_{x_1y_1}(x_1)$, соответственно. Значения этих напряжений заранее неизвестны и подлежат определению.

Граничные условия в рассматриваемой задаче о зарождении трещины в нагреваемом диске имеют следующий вид:

$$\begin{aligned} \sigma_r + i\tau_{r\theta} &= 0 && \text{на } \Gamma, \\ \sigma_{y_1} + i\tau_{x_1y_1} &= q_{y_1}(x_1) + iq_{x_1y_1}(x_1) && \text{при } y_1 = 0 \quad |x_1| \leq \ell_1, \end{aligned} \quad (4)$$

где i – мнимая единица; Γ – граница круга (диска).

Метод решения

Представим искомое напряженное состояние в диске в виде

$$\sigma_r = \sigma_r^0 + \sigma_r^1, \quad \sigma_\theta = \sigma_\theta^0 + \sigma_\theta^1, \quad \tau_{r\theta} = \tau_{r\theta}^0 + \tau_{r\theta}^1, \quad (5)$$

где компоненты напряжений σ_r^0 , σ_θ^0 и $\tau_{r\theta}^0$ определяются согласно формулам (1).

Для определения введенных составляющих напряжений σ_r^1 , σ_θ^1 , $\tau_{r\theta}^1$ удовлетворяющих уравнениям плоской задачи теории вне зоны предразрушения на основании (4), (5), приходим к краевой задаче

$$\sigma_r^1 + i\tau_{r\theta}^1 = F(t) \quad \text{на } \Gamma, \quad (6)$$

$$\sigma_{y_1}^1 + i\tau_{x_1y_1}^1 = f_1(x_1) + q_{y_1}(x_1) + iq_{x_1y_1}(x_1) \quad \text{при } y_1 = 0 \quad |x_1| \leq \ell_1, \quad (7)$$

Выражения для функций $F(t)$ и $f_1(x_1)$ легко находятся на основании предыдущих соотношений и формул Колосова–Мухелишвили [5].

Краевые условия (6)–(7) с помощью формул Колосова–Мухелишвили [5] можно записать в виде граничной задачи для отыскания комплексных потенциалов $\Phi(z)$ и $\Psi(z)$ в следующем виде:

$$\Phi(\tau) + \overline{\Phi(\tau)} - e^{2i\theta}(\overline{\tau\Phi'(\tau)} + \overline{\Psi(\tau)}) = \overline{F(\tau)}, \quad (8)$$

$$\Phi(t) + \overline{\Phi(t)} + t\overline{\Phi'(t)} + \overline{\Psi(t)} = \overline{f_1(t)} + q_{y_1} - iq_{x_1y_1}, \quad (9)$$

где $\tau = R\exp(i\theta)$; t – аффикс точек берегов зоны предразрушения.

Комплексные потенциалы $\Phi(z)$ и $\Psi(z)$, дающие решение граничной задачи (8)–(9), запишем так:

$$\Phi(z) = \Phi_0(z) + \Phi_1(z), \quad \Psi(z) = \Psi_0(z) + \Psi_1(z). \quad (10)$$

Здесь комплексные функции $\Phi_1(z)$ и $\Psi_1(z)$ ищем в виде

$$\begin{aligned} \Phi_1(z) &= \frac{1}{2\pi} \int_{-\ell_1}^{\ell_1} \frac{g_1(t)dt}{t - z_1}, \\ \Psi_1(z) &= \frac{e^{-2i\alpha_1}}{2\pi} \int_{-\ell_1}^{\ell_1} \left[\frac{\overline{g_1(t)}}{t - z_1} - \frac{\overline{T_1}e^{i\alpha_1}}{(t - z_1)^2} g_1(t) \right] dt, \end{aligned} \quad (11)$$

где $T_1 = te^{i\alpha_1} + z_1^0$; $z_1 = e^{-i\alpha_1}(z - z_1^0)$; $g_1(t)$ – искомая функция, характеризующая раскрытие (длину связи) при переходе через линию зоны предразрушения

$$g_1(x_1) = \frac{2\mu}{i(1+\kappa)} \frac{\partial}{\partial x_1} \left[u_1^+(x_1, 0) - u_1^-(x_1, 0) + i(v_1^+(x_1, 0) - v_1^-(x_1, 0)) \right].$$

Неизвестная функция $g_1(t)$ и комплексные потенциалы $\Phi_0(z)$ и $\Psi_0(z)$ должны быть определены из граничных условий на контуре Γ ($r = R$) и берегах зоны предразрушения. Используя представления (10)–(11), для определения комплексных функций $\Phi_0(z)$ и $\Psi_0(z)$ граничные условия (8) представим как

$$\Phi_0(\tau) + \overline{\Phi_0(\tau)} - e^{-2i\theta} \left[\overline{\tau\Phi_0'(\tau)} + \overline{\Psi_0(\tau)} \right] = \overline{F(\theta)} - (f_1(\theta) - if_2(\theta)), \quad (12)$$

где $f_1(\theta) - if_2(\theta) = \Phi_1(\tau) + \overline{\Phi_1(\tau)} - e^{-2i\theta} \left[\overline{\tau\Phi_1'(\tau)} + \overline{\Psi_1(\tau)} \right]$.

Для решения граничной задачи (12) относительно комплексных потенциалов $\Phi_0(z)$ и $\Psi_0(z)$ используем метод Н. И. Мухелишвили [5]. После некоторых преобразований получаем

$$\Phi_0(z) = \frac{1}{2\pi i} \int_{-\ell_1}^{\ell_1} \left\{ \left(\frac{1}{z\bar{T}_1 - 1} + \frac{1}{2} \right) \bar{T}_1 e^{i\alpha_1} g_1(t) + \left[\frac{T_1}{2} - \frac{z^2 \bar{T}_1 - 2z + T_1}{(z\bar{T}_1 - 1)^2} \right] e^{-i\alpha_1} \overline{g_1(t)} \right\} dt + \frac{1}{2\pi i} \int_{\Gamma} F(\tau) \left(\frac{1}{\tau - z} - \frac{1}{2\tau} \right) d\tau, \quad (13)$$

$$\Psi_0(z) = \frac{1}{2\pi} \int_{-\ell_1}^{\ell_1} \left[\frac{e^{i\alpha_1} \bar{T}_1^3}{(z\bar{T}_1 - 1)^2} g_1(t) + \left(z^2 \bar{T}_1^2 + 4 - 3z\bar{T}_1 + zT_1 \bar{T}_1^2 - 3T_1 \bar{T}_1 \right) \frac{\bar{T}_1 e^{-i\alpha_1} \overline{g_1(t)}}{(z\bar{T}_1 - 1)^3} \right] dt + \frac{1}{z^2} \Phi_{00}(z) + \frac{1}{z^2} \overline{\Phi_{00}} \left(\frac{1}{z} \right) - \frac{1}{z} \Phi'_{00}(z), \quad \Phi_{00}(z) = \frac{1}{2\pi i} \int_{\Gamma} F(\tau) \left(\frac{1}{\tau - z} - \frac{1}{2\tau} \right) d\tau.$$

Теперь, удовлетворяя граничным условиям (9) на берегах зоны предразрушения аналитическими функциями (10), (11), (13), после некоторых преобразований, получим комплексное сингулярное интегральное уравнение относительно неизвестной функции $g_1(x_1)$

$$\int_{-\ell_1}^{\ell_1} [R(t, x_1) g_1(t) + S(t, x_1) \overline{g_1(t)}] dt = \pi [f_1(x_1) + q_{y_1}(x_1) - i q_{x_1 y_1}(x_1) + f_0(x_1)] \quad |x_1| \leq \ell_1, \quad (14)$$

Здесь $f_0(x_1) = -[\Phi_{00}(x_1) + \overline{\Phi_{00}(x_1)} + x_1 \overline{\Phi'_{00}(x_1)} + \overline{\Psi_{00}(x_1)}]$, $\Psi_{00}(z) = \frac{1}{z^2} \Phi_{00}(z) + \frac{1}{z^2} \overline{\Phi_{00}} \left(\frac{1}{z} \right) - \frac{1}{z} \Phi'_{00}(z)$,

$$R(t, x_1) = \frac{e^{i\alpha_1}}{2} \left(\frac{1}{T_1 - X_1} + \frac{e^{-2i\alpha_1}}{\bar{T}_1 - \bar{X}_1} \right) - \frac{e^{i\alpha_1}}{2} \left[\frac{X_1 \bar{T}_1^2}{1 - X_1 \bar{T}_1} + \frac{\bar{X}_1^2 T_1 - 2\bar{X}_1 + \bar{T}_1}{(1 - T_1 \bar{X}_1)^2} + e^{-2i\alpha_1} \frac{2X_1(T_1 \bar{T}_1 - 1) + \bar{T}_1^2(\bar{X}_1 + \bar{T}_1)(\bar{X}_1 T_1 - 3) + 4T_1}{(1 - T_1 \bar{X}_1)^3} \right],$$

$$S(t, x_1) = \frac{e^{-i\alpha_1}}{2} \left[\frac{1}{\bar{T}_1 - \bar{X}_1} - \frac{T_1 - X_1}{(\bar{T}_1 - \bar{X}_1)^2} e^{-2i\alpha_1} \right] - \frac{e^{-i\alpha_1}}{2} \left[\frac{T_1^2 X_1}{1 - T_1 \bar{X}_1} + \frac{X_1^2 \bar{T}_1 - 2X_1 + T_1}{(1 - X_1 \bar{T}_1)^2} + \frac{T_1^2 (X_1 - T_1) e^{-2i\alpha_1}}{(1 - T_1 \bar{X}_1)^2} \right];$$

$$X_1 = x_1 e^{i\alpha_1} + z_1^0.$$

Для внутренней зоны предразрушения к сингулярному интегральному уравнению (14) с ядром Коши необходимо добавить равенство

$$\int_{-\ell_1}^{\ell_1} g_1(t) dt = 0. \quad (15)$$

Это равенство вытекает из однозначности смещений при обходе контура зоны ослабленных межчастичных связей материала (предразрушения).

Для левой части соотношения (2) имеем

$$(v_1^+ - v_1^-) - i(u_1^+ - u_1^-) = -\frac{1 + \kappa}{2\mu} \int_{-\ell_1}^{x_1} g_1(x_1) dx_1. \quad (16)$$

С учетом (16) соотношение (2) принимает следующий вид:

$$-\frac{1+\kappa}{2\mu} \int_{-\ell_1}^{x_1} g_1(x_1) dx_1 = \Pi(x_1, \sigma_1) (q_{y_1}(x_1) - iq_{x_1 y_1}(x_1)). \quad (17)$$

Если представить неизвестную функцию $g_1(x_1)$, а также нагрузочную функцию $f_0(x_1)$ и $f_1(x_1)$ как

$$g_1(x_1) = v_1(x_1) - iu_1(x_1), \quad f_0(x_1) = \sigma_0(x_1) - i\tau_0(x_1), \quad f_1(x_1) = \sigma_1(x_1) + i\tau_1(x_1),$$

то из одного комплексного сингулярного интегрального уравнения (14) после отделения действительных и мнимых частей получим для определения $v_1(x_1)$ и $u_1(x_1)$ два действительных интегральных уравнений.

Аналогичные действия проделаем и с дополнительным условием (15), в результате находим

$$\int_{-\ell_1}^{\ell_1} v_1(t) dt = 0, \quad \int_{-\ell_1}^{\ell_1} u_1(t) dt = 0. \quad (18)$$

Теперь, аналогичные действия проделаем с условием (17), в результате получим

$$-\frac{1+\kappa}{2\mu} \int_{-\ell_1}^{x_1} v_1(x_1) dx_1 = \Pi(x_1, \sigma_1) q_{y_1}(x_1) - \frac{1+\kappa}{2\mu} \int_{-\ell_1}^{x_1} u_1(x_1) dx_1 = \Pi(x_1, \sigma_1) q_{x_1 y_1}(x_1). \quad (19)$$

В силу того, что напряжения в нагреваемом диске всюду ограничены, решение сингулярного интегрального уравнения ищется в классе всюду ограниченных функций.

Используя процедуру алгебраизации [6–8], вместо каждого сингулярного интегрального уравнения при дополнительном условии (18) получаем конечную алгебраическую систему, состоящую из M уравнений, относительно приближенных значений искомых функций $v_1(t_m)$ и $u_1(t_m)$ ($m = 1, 2, \dots, M$) в узловых точках соответственно.

В правые части этих систем входят неизвестные значения $q_{y_1}(x_1)$, $q_{x_1 y_1}(x_1)$, соответственно, в узловых точках. Требуя выполнения условий (19) в узловых точках t_m ($m = 1, 2, \dots, M$), получим еще две системы из M уравнений каждая для определения значений $q_{y_1}(t_m)$ и $q_{x_1 y_1}(t_m)$

$$\left\{ \begin{array}{l} -\frac{1+\kappa}{2\mu} \frac{\pi \ell_1}{M} v_1(t_1) = \Pi(t_1, \sigma_1) q_{y_1}(t_1) \\ -\frac{1+\kappa}{2\mu} \frac{\pi \ell_1}{M} (v_1(t_1) + v_1(t_2)) = \Pi(t_2, \sigma_1) q_{y_1}(t_2) \\ \dots \\ -\frac{1+\kappa}{2\mu} \frac{\pi \ell_1}{M} \sum_{m=1}^M v_1(t_m) = \Pi(t_M, \sigma_1) q_{y_1}(t_M), \end{array} \right. \quad (20)$$

$$\left\{ \begin{array}{l} -\frac{1+\kappa}{2\mu} \frac{\pi \ell_1}{M} u_1(t_1) = \Pi(t_1, \sigma_1) q_{x_1 y_1}(t_1) \\ -\frac{1+\kappa}{2\mu} \frac{\pi \ell_1}{M} (u_1(t_1) + u_1(t_2)) = \Pi(t_2, \sigma_1) q_{x_1 y_1}(t_2) \\ \dots \\ -\frac{1+\kappa}{2\mu} \frac{\pi \ell_1}{M} \sum_{m=1}^M u_1(t_m) = \Pi(t_M, \sigma_1) q_{x_1 y_1}(t_M). \end{array} \right. \quad (21)$$

Полученные алгебраические системы уравнений (заменяющие два действительных интегральных уравнения и два условия (19)) оказались связанными и должны решаться совместно.

Полученные алгебраические системы уравнений не являются пока замкнутыми, поскольку не хватает двух уравнений, выражающих условия разрешимости интегрального уравнения в классе всюду

ду ограниченных функций. Записывая эти условия ограниченности напряжений в вершинах зоны предразрушения

$$\begin{aligned} \sum_{m=1}^M (-1)^{M+m} v_1(t_m) \operatorname{tg} \frac{2m-1}{4M} \pi = 0, & \quad \sum_{m=1}^M (-1)^m v_1(t_m) \operatorname{ctg} \frac{2m-1}{4M} \pi = 0, \\ \sum_{m=1}^M (-1)^{M+m} u_1(t_m) \operatorname{tg} \frac{2m-1}{4M} \pi = 0, & \quad \sum_{m=1}^M (-1)^m u_1(t_m) \operatorname{ctg} \frac{2m-1}{4M} \pi = 0, \end{aligned} \quad (22)$$

получим две замкнутые конечные алгебраические системы.

Из-за неизвестного размера зоны предразрушения даже при линейно-упругих связях системы алгебраических уравнений оказались нелинейными. Для их решения использовали метод последовательных приближений. Решаем объединенную систему при некоторых определенных значениях ℓ_1^* относительно неизвестных $v_1(t_m)$, $u_1(t_m)$, $q_{y_1}(t_m)$, $q_{x_1 y_1}(t_m)$. Значение ℓ_1^* и найденные величины $v_1(t_m)$, $u_1(t_m)$, $q_{y_1}(t_m)$, $q_{x_1 y_1}(t_m)$ подставляются в неиспользованные уравнения объединенной системы. Взятое значение параметра ℓ_1^* и соответствующие им значения $v_1(t_m)$, $u_1(t_m)$, $q_{y_1}(t_m)$, $q_{x_1 y_1}(t_m)$ не будут, вообще говоря, удовлетворять уравнениям (22). Поэтому, подбирая значения параметра ℓ_1^* , будем многократно повторять вычисления до тех пор, пока уравнения (22) объединенной системы не будут удовлетворяться с заданной точностью. Объединенная система уравнений в каждом приближении решалась методом Гаусса с выбором главного элемента для различных значений M ($M = 20; 30$).

В случае нелинейного закона деформирования связей для нахождения усилий в зоне предразрушения использовали также итерационный метод, подобный методу упругих решений А. А. Ильюшина [9]. Полагается, что закон деформирования межчастичных связей в зоне предразрушения является линейным при $V_1 = |(u_1^+ - u_1^-) - i(v_1^+ - v_1^-)| \leq V_*$.

Первый шаг итерационного процесса расчета состоит в решении системы разрешающих уравнений для линейно-упругих межчастичных связей. Следующие итерации выполняются только в случае, если на части зоны предразрушения выполняется равенство $V_1 > V_*$. Для таких итераций решается система разрешающих уравнений в каждом приближении для квазихрупких связей (сил сцепления) с эффективной податливостью, переменной вдоль зоны предразрушения и зависящей от величины модуля вектора усилий в связях, полученного на предыдущем шаге расчета. Расчет эффективной податливости проводится подобно нахождению секущего модуля в методе переменных параметров упругости [10]. Принято, что процесс последовательных приближений заканчивается, как только усилия в зоне предразрушения, полученные на двух последовательных шагах, мало отличаются друг от друга.

Нелинейная часть кривой деформирования связей представлялась в форме билинейной зависимости, восходящий участок которой соответствовал упругому деформированию связей ($0 < V_1(x_1) < V_*$) с максимальным натяжением связей. При $V_1(x_1) > V_*$ закон деформирования описывался нелинейной зависимостью, определяемой двумя точками (V_* , σ_*) и (δ_c , σ_c), причем при $\sigma_c \geq \sigma_*$ имеем возрастающую линейную зависимость (линейное упрочнение, соответствующее упругопластической деформации связей).

Состоянию предельного равновесия зоны предразрушения соответствует условие [11]

$$-\frac{\partial \Pi_0}{\partial \ell_1} = 0, \quad (23)$$

где Π_0 – потенциальная энергия деформации.

Левая часть уравнения (23), как известно, состоит из двух слагаемых, первая из которых представляет скорость высвобождения энергии деформации при образовании новой поверхности зоны предразрушения, а второе слагаемое определяет скорость потребления энергии деформации связями.

Состоянию предельного равновесия диска с зоной предразрушения соответствует выполнение условия

$$G_b(\ell_1) = G_n(\ell_1). \quad (24)$$

Энергетическое условие (24) является необходимым, но недостаточным для состояния предельного равновесия зоны предразрушения в круговом нагреваемом диске. Для определения предельного равновесия зоны предразрушения необходимо введение дополнительного критического условия. В качестве такового принимаем условие критического раскрытия берегов зоны предразрушения (3).

Считается, что разрыв связей на берегах зоны предразрушения ($x_1 = x_{01}$) происходит при выполнении условия

$$\sqrt{[u_1^+(x_{01}, 0) - u_1^-(x_{01}, 0)]^2 + [v_1^+(x_{01}, 0) - v_1^-(x_{01}, 0)]^2} = \delta_c, \quad (25)$$

где δ_c – предельная длина связи.

Совместное решение уравнений (20), (21), (24), (25) позволяет при заданных характеристиках связей определить критическую величину интенсивности теплового воздействия и размер зоны предразрушения для состояния предельного равновесия. Скорость потребления энергии деформации $G_n(\ell_1)$, полученная из этого решения, считается энергетической характеристикой сопротивления разрушению, т. е.

$$G_c = G_n(\ell_1).$$

Используя предельные величины δ_c и G_c , можно выделить различные режимы равновесия зоны предразрушения и зарождения трещины при монотонном нагружении. Так, например, при выполнении условий

$$G_b(\ell_1) \geq G_c, \quad V_1(x_{01}) < \delta_c$$

происходит продвижение вершины зоны предразрушения без разрыва связей, т.е. в этом случае трещина не зарождается. Этот этап роста зоны предразрушения можно интерпретировать как процесс приспособляемости заданному уровню тепловой нагрузки, действующему на круговой диск.

Рост вершины зоны предразрушения с одновременным разрывом связей на берегах ослабленной зоны будет происходить при выполнении условий

$$G_b(\ell_1) \geq G_c, \quad V_1(x_{01}) \geq \delta_c.$$

При выполнении условий

$$G_b(\ell_1) < G_c, \quad V_1(x_{01}) \geq \delta_c$$

происходит разрыв межчастичных связей без продвижения вершины зоны предразрушения, т.е. в этом случае зарождается трещина и размер зоны предразрушения, где имеется связь между берегами, уменьшается.

Если же будут выполняться условия

$$G_b(\ell_1) < G_c, \quad V_1(x_{01}) < \delta_c,$$

то положение вершины зоны предразрушения не будет изменяться и трещина не будет зарождаться.

Таким образом, анализ показывает, что величина интенсивности теплового воздействия и критические параметры δ_c , G_c определяют характер разрушения (зарождения трещины).

Рассмотрим два различных режима нагрева круглого диска. Будем использовать следующие обозначения:

$$l_k = Rl_{0k}, \quad T(Rx) = T_0u(x),$$

где T_0 – некоторая характерная температура, показывающая интенсивность теплового воздействия на круговой диск.

1) Рассмотрим случай, когда постоянная скорость роста температуры внешней границы диска является заданной. Начальные и граничные условия задачи имеют вид

$$T|_{t=0} = 0, \quad T|_{r=R} = Vt \quad (26)$$

где t – время нагрева.

Чтобы установить распределение температуры в круглом диске, решается краевая задача для уравнения теории теплопроводности при начальном и граничном условиях (26)

$$\frac{\partial T}{\partial t} = a \left(\frac{\partial^2 T}{\partial r^2} + \frac{1}{r} \cdot \frac{\partial T}{\partial r} \right). \quad (27)$$

Здесь a – коэффициент температуропроводности материала диска.

Поле температур в этом случае определяется функцией

$$u(\rho) = \tau - \frac{1-\rho^2}{4} - 2 \sum_{k=1}^{\infty} \frac{J_0(\alpha_k^* \rho)}{(\alpha_k^*)^3 J_0'(\alpha_k^*)} e^{-(\alpha_k^*)^2 \tau},$$

где $\tau = \frac{at}{R^2}$ – безразмерное время; J_0 – функция Бесселя нулевого порядка; α_k^* ($k = 1, 2, \dots$) – последовательность ее нулей.

В этом случае характерная температура $T_0 = \frac{VR^2}{a}$; параметр $\beta = \frac{3\lambda + 2\mu}{\lambda + 2\mu} \alpha_* T_0$ является безразмерной скоростью нагрева.

Функция $f(x)$ в правой части сингулярного интегрального уравнения (14) для такого режима нагрева диска будет

$$f(x) = \frac{1-3x^2}{16} + 2 \sum_{k=1}^{\infty} \left[\frac{J_1(\alpha_k^*)}{\alpha_k^*} + \frac{J_1(\alpha_k^* x)}{\alpha_k^* x} - J_0(\alpha_k^* x) \right] \frac{e^{-\alpha_k^{*2} \tau}}{(\alpha_k^*)^3 J_1(\alpha_k^*)}.$$

2) На внешней границе диска задан постоянный поток тепла. Начальное и граничное условия имеют вид

$$T|_{t=0} = 0, \quad \lambda_* \frac{\partial T}{\partial r} \Big|_{r=R} = Q, \quad (28)$$

где λ_* – теплопроводность материала диска; Q – внешний поток тепла.

Решение задачи теории теплопроводности (27) при заданных начальных и граничных условиях (28) определяется функцией

$$u(\rho) = 2\tau + \frac{2\rho^2 - 1}{4} - \sum_{k=1}^{\infty} \frac{J_0(\alpha_k^* \rho)}{(\alpha_k^*)^2 J_0(\alpha_k^*)} e^{-(\alpha_k^*)^2 \tau},$$

где α_k^* ($k = 1, 2, \dots$) – последовательность нулей функции Бесселя $J_1(\rho)$.

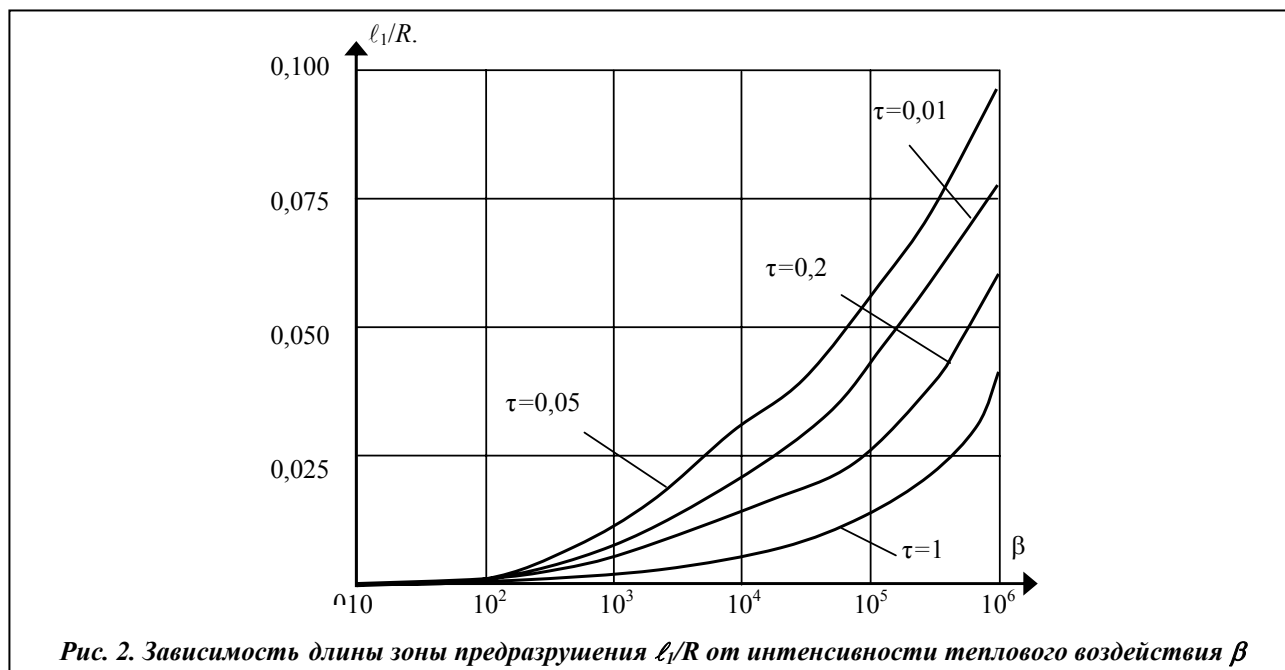
Характерная температура в этом случае $T_0 = \frac{QR}{\lambda_*}$; параметр β характеризует скорость подвода тепла.

Функция $f(x)$ в уравнении (14) для данного режима нагрева принимает вид:

$$f(x) = \frac{1-3x^2}{8} + 2 \sum_{k=1}^{\infty} \left[J_0(\alpha_k^* x) - \frac{J_1(\alpha_k^* x)}{\alpha_k^* x} \right] \frac{e^{-(\alpha_k^*)^2 \tau}}{(\alpha_k^*)^2 J_0(\alpha_k^*)}.$$

Аналогичным образом можно рассмотреть другие режимы нагрева кругового диска.

Расчеты проводились для ряда фиксированных значений безразмерного времени τ от 10^{-2} до 1. Результаты расчетов приведены на рис. 2–4. На рис. 2 представлены графики зависимости длины зоны предразрушения ℓ_1/R от интенсивности теплового воздействия β (скорости нагрева) для различных моментов времени для $\alpha_1 = 45^\circ$. На рис. 3 представлена зависимость распределения усилий q_{y_1}/σ_* вдоль зоны предразрушения для $\tau = 0,05$. Кривая 1 относится к случаю линейно-упругих связей, а кривая 2 – для билинейного закона деформирования связей. При этом использовались безразмерные координаты $x^* = x_1/\ell_1$.



На рис. 4 представлены зависимости критической интенсивности теплового воздействия β_c от безразмерной длины зоны предразрушения в различные моменты времени.

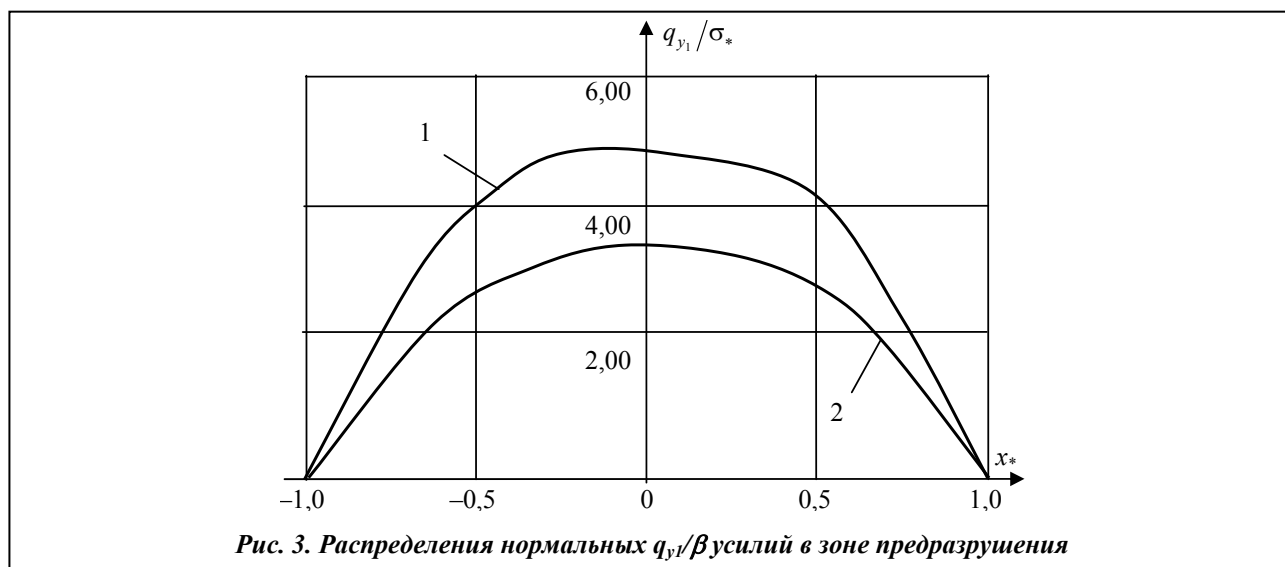
При проектировании элементов машин и механизмов в виде кругового диска его параметры надо подбирать таким образом, чтобы максимальная интенсивность теплового воздействия не превышала критического значения, вызывающего трещинообразование в диске. Это условие можно представить в виде

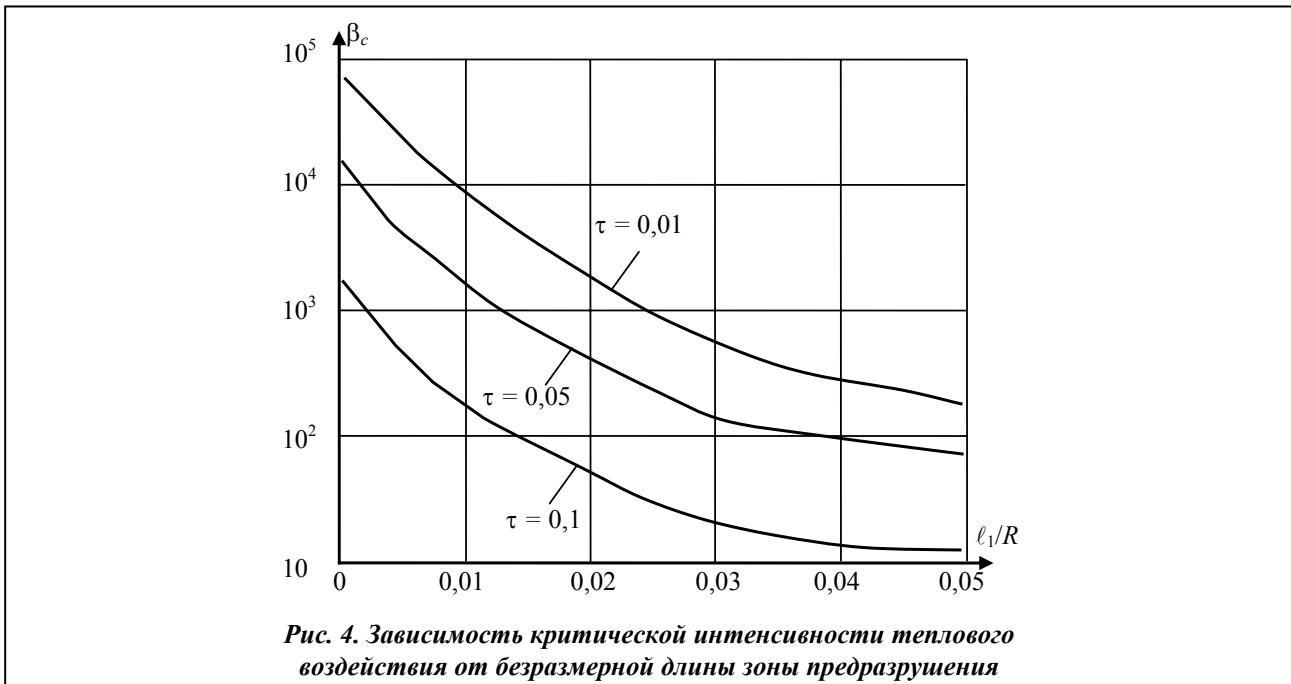
$$\beta_{\max} \leq \beta^c,$$

где β_{\max} – максимальная интенсивность теплового воздействия в круговом диске.

Выводы

Предложена эффективная схема расчета трещинообразования в круговом нагретом диске. С помощью разработанной расчетной модели на стадии проектирования можно оценивать гарантированный ресурс нагретого диска, устанавливать допустимый уровень интенсивности теплового воздействия, выбирать материал диска с требуемыми характеристиками трещиностойкости.





Литература

1. Панасюк, В. В. Механика квазихрупкого разрушения материалов / В. В. Панасюк. – Киев: Наук. думка, 1991. – 416 с.
2. Rusinko, A. Plasticity and Creep of Metals / A. Rusinko, K. Rusinko. Berlin: Springer Verlag, 2011. – 436 p.
3. *The special issue: Cohesive models* // Eng. Fract. Mech. – 2003. – Vol. 70, № 14. – P. 1741–1987.
4. Мирсалимов, В. М. К решению задачи механики контактного разрушения о зарождении и развитии трещины со связями между берегами во втулке фрикционной пары / В. М. Мирсалимов // Прикл. математика и механика. – 2007. – Т. 71, вып. 1. – С. 132–151.
5. Мусхелишвили, Н. И. Некоторые основные задачи математической теории упругости / Н. И. Мусхелишвили. – М.: Наука, 1966. – 707 с.
6. Панасюк, В. В. Распределение напряжений около трещин в пластинах и оболочках / В. В. Панасюк, М. П. Саврук, А. П. Дацышин. – Киев: Наук. думка, 1976. – 443 с.
7. Мирсалимов, В. М. Неоднородные упругопластические задачи / В. М. Мирсалимов. – М.: Наука, 1987. – 256 с.
8. Ladopoulos, E. G. Singular integral equations: Linear and non-linear theory and its Applications in Science and Engineering / E. G. Ladopoulos. – Berlin: Springer Verlag, 2000. – 376 p.
9. Ильюшин, А. А. Пластичность / А. А. Ильюшин. – М.; Л.: Гостехиздат, 1948. – 376 с.
10. Биргер, И. А. Расчет конструкций с учетом пластичности и ползучести / И. А. Биргер // Изв. АН СССР. Механика – 1965. – № 2. – С. 113–119.
11. Черепанов, Г. П. Механика хрупкого разрушения / Г. П. Черепанов. – М.: Наука, 1974. – 640 с.

Поступила в редакцию 13.12.14